

القاء سنتز محافظت کننده نوروئی TGFβ در آستروسیتها با مهار اختصاصی آنزیم گلیکوژن سنتاز کیناز "GSK3β"

آزیتا پروانه تفرشی^{۱*}، علی یار پیروزی^۲، فاطمه کاشانی^۲، شمیلا درویشعلیپور^۱ و بهمن زینلی^{۲*}

^۱ تهران، پژوهشگاه ملی مهندسی ژنتیک و زیست فناوری

^۲ تهران، دانشگاه تهران، پردیس علوم، دانشکده زیست شناسی، گروه تکوین

تاریخ پذیرش: ۸۹/۶/۲

تاریخ دریافت: ۸۶/۷/۲۷

چکیده

آستروسیتها عمده سلولهای گلیال تشکیل دهنده سیستم عصبی مرکزی و با تعداد تقریبی ده برابر نسبت به نورونها دارای عملکرد حفاظت از نورونها در برابر آسیب دیدگیها هستند. یافته های متعددی ارتباط مستقیم بین مرگ آستروسیتها و پیشرفت سریع بیماریهای neurodegenerative را نشان می دهند. آنزیم گلیکوژن سنتاز کیناز "GSK3β" به عنوان مولکول کلیدی نقش مهمی را در کنترل بسیاری از پروسه های تکوین نظیر تمایز، مهاجرت و مرگ سلولی ایفاء می کند. مهار GSK3β در فعال شدن مسیرهای پیام رسانی درون سلولی از جمله مسیرهای Wnt و PI3K-Akt نقش اساسی داشته و افزایش میزان آن باعث اختلال در مسیرهای پیام رسانی و بروز بیماریهای neurodegenerative مانند آلزایمر و پارکینسون میشود. در این تحقیق به منظور بررسی نقش احتمالی GSK3β در ترشح فاکتور محافظت کننده نوروئی TGFβ از آستروسیتها در محیط *in vitro* از BIO به عنوان مهارکننده اختصاصی GSK3β استفاده گردید و تأثیر آن بر میزان بیان TGFβ₁ و TGFβ₂ مورد بررسی قرار گرفت. سلولهای آستروسیت ناحیه کورتکس مغز نوزاد ۱-۲ روزه موش صحرایی نژاد Wistar با غلظتهای ۱ μM، ۰/۵ μM و ۰/۱ μM BIO تیمار شدند و پس از ۴۸ ساعت به وسیله تریپسین ۰/۲۵ درصد جدا، RNA آنها استخراج و جهت *real time RT-PCR* مورد استفاده قرار گرفت. نتایج آزمایشات این تحقیق نشان داد که BIO سنتز TGFβ₁ و TGFβ₂ در سلولهای آستروسیت را در مقایسه با سلولهای شاهد افزایش داده است. این امر مؤید آن است که مهار GSK3β در آستروسیتها برای عملکرد آنها در محافظت از نورونها ضروری است.

واژه های کلیدی: GSK3β، BIO، آستروسیتها، TGFβ

* نویسنده مسئول، تلفن: ۰۲۱-۴۴۵۸۰۳۷۶، پست الکترونیکی: tafreshi@nigeb.ac.ir

مقدمه

مهم ترین عملکردهای آستروسیتها حفاظت از نورونها در برابر آسیب دیدگیهاست. در هنگام آسیب دیدگیهای مغزی این سلولها فعال (reactive) شده واز لحاظ مورفولوژی و عملکرد دچار تغییر می شوند. سطح فاکتورهای رشد بیان شده در آستروسیتها نظیر نوروتروفینها، TGF و فاکتور رشد اپیدرمال با شروع آسیب دیدگی به میزان زیادی افزایش می یابد و بر روی مهاجرت، تکثیر و هیپرتروفی آستروسیتها

سیستم عصبی مرکزی در مهره داران از دو نوع سلول اصلی نورونها و گلیاها تشکیل شده است. تعداد گلیاها بسیار بیشتر از نورونها بوده و آستروسیتها به عنوان یکی از مهم ترین سلولهای گلیا دارای عملکردهای بسیار زیادی هستند. این سلولها فیلامنت حد واسطی به نام glial GFAP (fibrillary acidic protein) را بیان کرده که به واسطه آن از سایر سلولهای گلیال افتراق داده می شوند. از

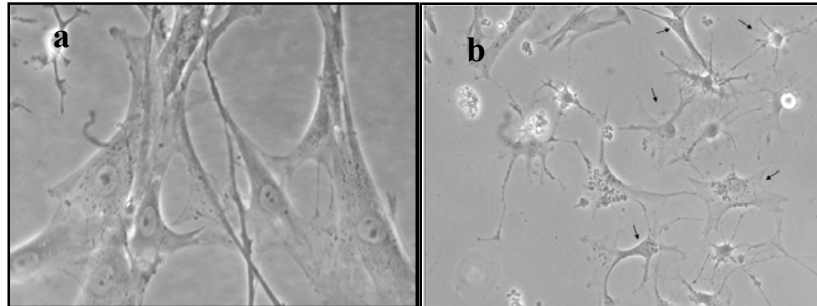
اثر می‌گذارد (۱۸).

تحقیقات نشان داده است که افزایش در زواید آستروسیتها، بیان GFAP و فاکتورهای محافظت کننده نورونی نظیر $TGF\beta_1$ و $TGF\beta_2$ باعث افزایش بقای نورونها می‌گردد (۵). بنا بر گزارش سایر محققین، حضور آستروسیتها در محیطهای بدون سرم، از مرگ زودرس نورونها جلوگیری می‌کند و باعث افزایش مقاومت آنها در مقابل آپوپتوزیس می‌شود (۵). مطالعات نشان می‌دهد که در بیماریهای نورودژنراتیو neurodegenerative مانند آلزایمر، فعالیت آنزیم $GSK-3\beta$ ، یکی از عوامل کلیدی مهم در مسیرهای سیگنال دهی متعددی نظیر مسیر Wnt و PI3K/Akt در آستروسیتها افزایش می‌یابد (۱۷). با توجه به اینکه مهار فعالیت این آنزیم در افزایش بقای نورونی مؤثر گزارش شده است (۳ و ۱۹) از داروهای مختلف مهار کننده $GSK3$ نظیر Carbamazepine, Haloperidol, Lamotrigine, Valproate در درمان اختلالات روانی (Psychiatric) استفاده شده است. (۲۸) در مطالعه حاضر از مهارکننده اختصاصی و فارماکولوژیک $GSK-3$, BIO (6-bromindirubin-3 mono oxime) استفاده گردید. BIO اولین بار در سال ۲۰۰۳ کشف و گزارش شد (۲۱). این ماده از خانواده indigo و ایزومرهای indirubin است که از منابع طبیعی نظیر نوعی حلزون از خانواده شکم پایان (Gastropod Mollusca) استخراج می‌شود (۱۲ و ۲۹). استفاده کلینیکی از indirubin و آنالوگهای محلول آن در مطالعات پیشین نشان دهنده خاصیت ضد توموری این ترکیبات علیرغم سمیت محدودی آنها است و لذا BIO می‌تواند به عنوان مهارکننده اختصاصی و فارماکولوژیک $GSK-3$ عمل کند. نتایج تحقیقات در سلولهای بنیادی جنینی موش نشان داد که BIO با مهار $GSK-3\beta$ سبب حفظ بیان فاکتورهای نسخه برداری نظیر Oct-3/4, Rex-1 و Nanog می‌شود. با توجه به اینکه بیان این فاکتورهای نسخه برداری از مشخصات سلولهای بنیادی پرتوان است، BIO با حفظ بیان این فاکتورها، سلولهای بنیادی را در

وضعیت تمایز نیافته نگه می‌دارد (۲۵). مطالعات انجام شده بر روی سلولهای بنیادی جنینی اخذ شده از موشهای فاقد $GSK-3$ ، نشان داده است که تمایز این سلولها دچار اختلال می‌شود (۱۶). نظر به نقش کلیدی و دخالت $GSK-3\beta$ در مسیرهای سیگنال دهی Wnt و PI3K/Akt، در این تحقیق از BIO به عنوان مهار کننده اختصاصی $GSK-3\beta$ در محیط کشت آستروسیتها استفاده شد و سنتز فاکتورهای محافظت کننده نورونی $TGF\beta_1$ و $TGF\beta_2$ مورد بررسی قرار گرفت.

مواد و روشها

کشت آستروسیتها: مغز نوزاد ۲-۱ روزه Wistar rat (انستیتو پاستور ایران) از جمجمه خارج و پس از حذف مننژ، ناحیه کورتکس آن جدا و در HBSS (محلول بدون منیزیم و کلسیم; Hank's buffered saline solution) شستشو داده شد. با پیپتاژ کردن مکرر تکه های کوچک مغز در DMEM حاوی ۱۰ درصد سرم جنین گاوی (FBS)، پنی سیلین و استرپتومایسین (۱ درصد) مغز به صورت کاملاً "هموژن در آمده و در انکوباتور CO_2 ۵ درصد) و دمای ۳۷ درجه سانتیگراد کشت داده شدند. پس از مدت ۸-۷ روز و رسیدن سلولها به ۷۰ درصد confluency، سلولهای آستروسیت از دیگر سلولها به روش تریپسینه کردن خالص شدند. این سلولها سریع تر از سایر گلبالها بر اثر تریپسینه شدن (حدود سه الی چهار دقیقه) از کف فلاسک جدا شده و در نتیجه به علت اختلاف در مقاومت به تریپسینه شدن از سایر سلولهای گلیال قابل خالص شدن هستند. بررسیهای مورفولوژیکی با استفاده از میکروسکوپ فاز کنتراست نشان داد که این سلولها مشخصات سلولهای آستروسیتی یعنی شکل ستاره ای و زواید چندگانه را دارند (شکل ۱). درصد خلوص سلولهای جدا شده در سطح مولکولی و با استفاده از بررسی بیان GFAP به روش ایمونوسیتوشیمی مورد ارزیابی قرار گرفت.



شکل ۱- (a) مورفولوژی سلولهای گلیا، ۶ روز پس از کشت.. (b) مورفولوژی سلولهای آستروسیت ۲ روز پس از خالص سازی. با استفاده از میکروسکوپ اینورت Zeiss و بزرگنمایی ۲۰x

انکوباسیون به مدت ۲۰ دقیقه در دمای ۳۷ درجه سانتی گراد با آنتی بادی ثانویه IgG کونژوگه شده با FITC (DAKO) رقیق شده در BSA ۰/۵٪ در PBS (۱:۲۰۰)، شستشو با PBST به مدت ده دقیقه در دمای اتاق و تاریکی و سپس رؤیت با میکروسکوپ فلورسنس.

تیمار سلولهای آستروسیت با مهار کننده اختصاصی GSK3β (BIO) : سلولهای آستروسیت به وسیله BIO (مهار کننده اختصاصی GSK3β (Calbiochem)، با غلظتهای ۱μM، ۰/۵ μM و ۰/۱ μM تیمار شدند. اساس انتخاب غلظتها بر پایه مطالعه Meijer و همکارانش (۲۱) بود. ۴۸ ساعت پس از تیمار، سلولها به وسیله تریپسین ۰/۲۵ درصد جدا و RNA آنها با استفاده از Trizol (Invitrogen) استخراج شد.

سنتز cDNA و RT-PCR : از RNAهای استخراج شده، cDNA تحت شرایط و برنامه زیر سنتز شد:

cDNA	Primer (Forward,Reverse)	Taq	MgCl ₂ (۵۰mM)	Buffer (۱۰x)	dH ₂ O	dNTP (۱۰mM)
۳μl	۲μl	۰/۲μl	۱μl	۲μl	۱۱μl	۱μl

اکتین به عنوان کنترل داخلی در نظر گرفته شدند. طول amplicon های بتا اکتین ۷۲ bp TGFβ₁، ۸۷ bp TGFβ₂ و ۷۳ bp مناسب برای real time PCR بودند.

ایمونوسیتوشیمی (GFAP immunocytochemistry) : تشخیص GFAP در آستروسیتها به روش ایمونوسیتوشیمی و با استفاده از آنتی بادی اختصاصی GFAP (Sigma) و به صورت زیر انجام گرفت. ابتدا سلولها بر روی Cover slip های موجود در چاهک پلیتھا، کشت داده شدند و بعد از چسبیدن سلولها بر روی Cover slip مراحل زیر انجام شد: دو بار شستشو با PBS، تثبیت در پارافرمالدهید چهار درصد به مدت ۱۵ دقیقه در دمای چهار درجه سانتی گراد، شستشو با PBST (PBS+Tween)، نفوذ پذیر کردن سلولها در محلول ۲ درصد Triton X-100 به مدت پنج دقیقه در دمای اتاق، شستشو با PBST در ۴ درجه سانتی گراد، انکوباسیون به مدت ۴۵ دقیقه با محلول ۱۰ درصد goat serum تهیه شده در PBST در دمای اتاق، سپس انکوبه کردن سلولها با آنتی بادی اولیه GFAP (رقیق شده در PBS حاوی ۰/۵ درصد BSA به مدت ۶۰ دقیقه در دمای ۳۷ درجه سانتی گراد، دوبار شستشو با محلول PBST به مدت ۱۰ دقیقه در دمای اتاق،

(۷۰°C : ۱۰' ، ۲h:۴۲°C ، ۱۰':۲۵°C و ۵':۷۰°C). سپس PCR بر طبق برنامه زیر و با استفاده از پرایمرهای (شرکت روبین گستر) زیر صورت گرفت. پرایمرهای β

TGFβ₂ Reverse: 5-GTA GAA AGT GGG GGG GAT -3
 Actin β forward: 5-CCC GCG AGT ACA ACC TTC T-3
 Actin β Reverse: 5-CGT CAT CCA TGG CGA ACT-3

TGFβ₁ forward: 5- CCT GGA AAG GGGC TCA ACA C-3
 TGFβ₁ Reverse: 5- CAG TTC TTC GTG GAG CTGA-3
 TGFβ₂ forward: 5-AGT GGG CAG CTTTGTG CTC-3

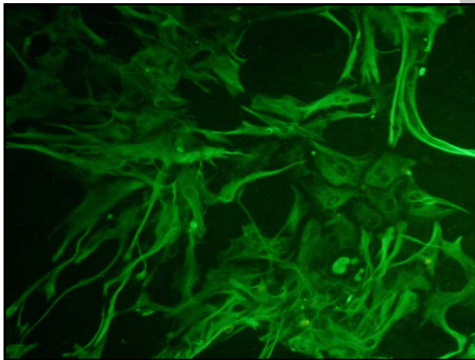
Taq	cDNA	Primer (F,R) 5 pmol	dNTP	MgCl ₂	Buffer	dH ₂ O
۰/۲ μl	۵ μl	۲ μl	۱ μl	۱ μl	۲ μl	۹/۸ μl

۷۲°C: ۵'، ۷۲°C: ۲'، ۵۸°C: ۱'، ۹۵°C: ۱'، ۳۵ سیکل، و ۹۵°C: ۵'

ANOVA تعیین P value گردیدند و P<0.05 های معنی دار در نظر گرفته شدند.

نتایج

بیان پروتئین GFAP در آستروسیت‌های خالص شده: با استفاده از تکنیک ایمونوسیتوشیمی بیان پروتئین GFAP مورد آزمون قرار گرفت. همان طور که در شکل ۲ مشاهده می‌گردد، سلولهای آستروسیت بیان کننده GFAP بوده و در زیر نور فلورسنس به صورت سبز درخشان ظاهر می‌شوند.



شکل ۲- ایمونوراکتیویته GFAP در سلولهای آستروسیت با استفاده از تکنیک ایمونوسیتوشیمی. سلولهای آستروسیت از کورتکس مغز نوزاد ۲ روزه کشت شده در محیط DMEM، پروتئین GFAP (نشان گر سلولهای آستروسیتی) را به طور اختصاصی بیان میکنند.

(میکروسکوپ Zeiss بزرگنمایی ۲۰x)

افزایش بیان TGFβ₁ و TGFβ₂ در سلولهای آستروسیت تیمار شده با BIO: تیمار آستروسیتها با غلظتهای ۱ μM، ۰/۵ μM و ۰/۱ μM از BIO به مدت ۴۸ ساعت منجر به افزایش در بیان TGFβ₁ و TGFβ₂ نسبت به بیان ژن house

real time-PCR: **Real time-PCR** با استفاده از کیت Roche (cat# 04673484001) انجام شد که مواد و مقادیر مصرف شده در آن عبارت بودند از ۴ μl (master mix)، ۲ μl primer، ۵ μl (cDNA)، ۹ μl H₂O با حجم نهایی ۲۰ μl. واکنش real time PCR برای ژنهای TGFβ₁ و TGFβ₂ طبق برنامه زیر انجام گرفت: ۹۵°C: ۱'، ۷۲°C: ۱۵"، ۶۰°C: ۳۰"، ۷۲°C: ۵'، برای ژن بتا اکتین واکنش real time PCR طبق برنامه زیر انجام گرفت: ۹۵°C: ۱'، ۷۲°C: ۱۵"، ۶۰°C: ۱۵" a few seconds، ۷۲°C: ۴۰" و ۵۰ سیکل و ۹۵°C: ۵'

آنالیز کمی و آماری داده‌ها: آنالیز کمی داده‌ها با استفاده از فرمول ارائه شده توسط Pfaffl و همکارانش (۲۰۰۳) صورت گرفت (۲۴). اساس این برنامه بر پایه فرمول زیر است که پس از به دست آمدن CT ها می‌توان محاسبات کمی را انجام داد.

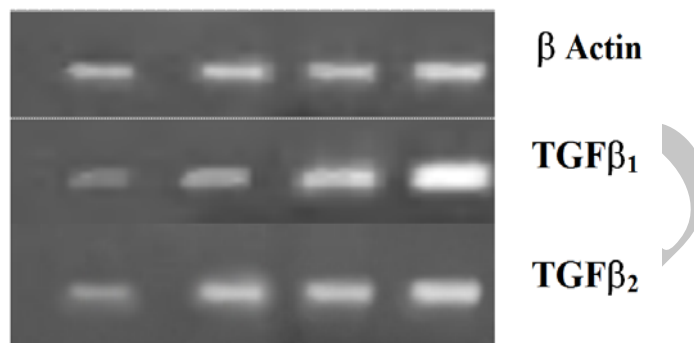
$$\text{ratio} = \frac{(E_{\text{target}})^{\Delta \text{Ct target (control-treated)}}}{(E_{\text{ref}})^{\Delta \text{Ct ref (control-treated)}}}$$

در این فرمول Efficiency به صورت E و آستانه سیکل (Cycle Threshold)؛ سیکلی که در آن فلورسنس نمونه به حد آستانه می‌رسد) به صورت Ct همچنین ژن هدف (TGFβ₂ و TGFβ₁) به صورت target و ژن رفرانس (بتا اکتین) به صورت ref نمایش داده شده است. Ct معمولاً "نسبت عکس با میزان غلظت نمونه دارد. داده‌ها پس از سه بار تکرار real time و به صورت Mean±SE به دست آورده شدند و با استفاده از نرم افزار SPSS و آزمون

غلظتهای $1\mu\text{M}$ ، $0.5\mu\text{M}$ و $0.1\mu\text{M}$ از BIO به ترتیب ۱.۳، ۳.۴، ۶.۴ برابر افزایش و میزان بیان $\text{TGF}\beta_2$ در غلظتهای $1\mu\text{M}$ ، $0.5\mu\text{M}$ و $0.1\mu\text{M}$ از BIO به ترتیب ۲.۱، ۴.۱، ۷.۱ برابر شده است.

keeping (بتا اکتین) می شود. این افزایش در بیان در تصویر ژل محصولات نهایی real time PCR نیز مشاهده می شود (شکل ۳). نتایج کمی حاصل از real time PCR در جدول ۱ نشان داده شده است. میزان بیان $\text{TGF}\beta_1$

کنترل 0/1 μM 0/5 μM 1 μM



شکل ۳- اثر BIO بر بیان ژنهای فاکتورهای محافظت کننده نورونی $\text{TGF}\beta_1$ و $\text{TGF}\beta_2$ در آستروسیتها: سلولهای آستروسیت با غلظتهای $0.1\mu\text{M}$ ، $0.5\mu\text{M}$ و $1\mu\text{M}$ از BIO به مدت ۴۸ ساعت تیمار شده و سپس RNA آنها استخراج و RT-PCR گردید. همانطور که مشاهده می شود به تناسب افزایش غلظتهای BIO، سلولهای آستروسیت تیمار شده در مقایسه با سلولهای شاهد میزان بیشتری از فاکتورهای محافظت کننده نورونی $\text{TGF}\beta_1$ و $\text{TGF}\beta_2$ را بیان میکنند. تیمار با BIO تاثیری بر بیان ژن بتا اکتین نداشته است.

جدول ۱- نتایج آماری حاصل از real time PCR مربوط به بیان فاکتورهای محافظت کننده نورونی $\text{TGF}\beta_1$ و $\text{TGF}\beta_2$ در آستروسیتهای تیمار شده با BIO: در نمونه های تیمار شده با غلظتهای $0.1\mu\text{M}$ ، $0.5\mu\text{M}$ و $1\mu\text{M}$ از BIO، میزان محصول PCR برای ژن $\text{TGF}\beta_1$ به ترتیب ۱/۳، ۳/۴، ۶/۴ برابر افزایش و برای ژن $\text{TGF}\beta_2$ به ترتیب ۲/۱، ۴/۱، ۷/۱ برابر افزایش نسبت به نمونه کنترل را نشان میدهد ($P < 0.001$).

BIO (μM)	Control (beta actin)	BIO treated (beta actin)	Control (TGF beta 1)	Target (TGF beta 1)	Ratio mean
$0.1\mu\text{M}$	۱۳/۶۵	۱۲/۹	۳۲/۴۳	۳۰/۳	۱/۳
$0.5\mu\text{M}$	۱۳/۱	۱۲/۵	۳۲	۲۸/۱	۳/۴
$1\mu\text{M}$	۱۲/۳	۱۱/۸	۲۸	۲۷/۴	۶/۴

BIO (μM)	Control (beta actin)	BIO treated (beta actin)	Control (TGF beta ۲)	Target (TGF beta ۲)	Ratio mean
$0.1\mu\text{M}$	۱۳/۶۵	۱۲/۹	۳۰/۱	۳۰	۲/۱
$0.5\mu\text{M}$	۱۳/۱	۱۲/۵	۲۹	۲۹	۴/۱
$1\mu\text{M}$	۱۲/۳	۱۱/۸	۳۳/۱	۲۷/۷	۷/۱

شده و لذا سالیانه باعث مرگ افراد زیادی می گردد. از مکانیسمهای فیزیولوژیک برای مقابله با اثرات تحلیل نورونی در این بیماریها، می توان فعال شدن سلولهای

بحث

بیماریهای نورودژنراتیو از قبیل آلزایمر و پارکینسون با تأثیر بر سیستم عصبی مرکزی باعث القاء آپوپتوزیس در نورونها

نشان دادند که اضافه کردن ATP به محیط کشت سلولهای آستروسیت باعث فسفریله شدن سرین شماره ۹ در GSK3 β و کاهش فعالیت آن می گردد (۲۷). تحقیقات Dhandapani و همکارانش در سال ۲۰۰۳ نشان داد که GSK3 β در آستروسیت‌های تحت تأثیر 17- β estradiol، مهارشده و موجب فعال شدن مسیر سیگنال دهی PI3K/Akt و افزایش بیان فاکتورهای محافظت کننده نوروئی TGF β ₁ و TGF β ₂ می گردد (۱۳). با توجه به اهمیت GSK-3 β در چند مسیر سیگنال دهی دیگر، در این پژوهش از BIO به عنوان مهارکننده GSK-3 β استفاده و سنتز فاکتورهای محافظت کننده نوروئی توسط آستروسیتها مورد سنجش قرار گرفت. BIO از خانواده indigo و ایزومرهای indirubin است که از منابع طبیعی نظیر نوعی حلزون از خانواده شکم پایان (Gastropod Mollusca) استخراج می شود (۲۲). مطالعات اولیه نشان داده است که BIO می تواند به عنوان مهارکننده اختصاصی و فارماکولوژیک GSK-3 β عمل کند (۲۰). در این تحقیق آستروسیت‌های خالص شده از کورتنکس مغز نوزاد دو روزه rat تحت تأثیر BIO قرار گرفته و سنتز فاکتورهای TGF β ₁ و TGF β ₂ بوسیله تکنیکهای RT-PCR و Real-time PCR مورد سنجش قرار گرفتند. آستروسیتها با غلظتهای ۰/۱ μ M، ۰/۵ μ M و ۱ μ M از ماده BIO به مدت ۴۸ ساعت تیمار شدند. نتایج به دست آمده از تکنیک Real-time PCR نشان داد که به تناسب افزایش غلظتهای BIO و لذا افزایش درمهار GSK3 β ، افزایش قابل توجهی در بیان فاکتورهای TGF β ₁ و TGF β ₂ حاصل می شود. در توافق با نتایج به دست آمده، تحقیقات Sinha و همکارانش (۲۶) نیز وجود ارتباط مستقیم بین مهار آنزیم GSK-3 β و افزایش بیان فاکتورهای رشد را تأیید می کند. آنها با استفاده از BIO به عنوان مهار کننده آنزیم GSK-3 β افزایش بیان فاکتور شبه انسولینی (IGF) را در سلولهای اپی تلیال کلیه نشان دادند که ناشی از فعال شدن مسیر سیگنال دهی PI₃K/Akt و در نهایت افزایش بقاء سلولی بود (۱۵).

گلیال و مسیرهای سیگنال دهی مختلف فعال شده توسط این سلولها را نام برد. مطالعات *in vitro* نشان داده است که آستروسیتها در مقابل آسیب دیدگی مقاومت بیشتری نسبت به نورونها دارند. به محض شروع آسیب دیدگی در سیستم عصبی مرکزی، آستروسیت‌های فعال شده جهت بهبود ناحیه آسیب دیده وارد عمل می شوند (۲، ۸، ۱۴ و ۳۰). در شرایط آسیب دیدگی سیستم عصبی مرکزی، گلوتامات که یک نوروترانسمیتر تحرکی است در سطح مغز به میزان زیادی افزایش یافته که در صورت عدم خروج از سیستم عصبی به عنوان عامل مخرب عمل می کند. آستروسیت‌های فعال یکی از عوامل خارج کننده این گلوتامات اضافی از سیستم هستند (۱۰). بعلاوه آستروسیتها به عنوان منبع اصلی ترشح کننده فاکتورهای محافظت کننده نوروئی در کنترل بقای نورونها وارد عمل می شوند (۱۳). از فاکتورهای محافظت کننده نوروئی ترشح شده توسط آستروسیتها می توان به TGF β ₁، TGF β ₂، GDNF، BDNF و NT3 اشاره کرد (۹). اکثر این فاکتورها دارای رسپتورهایی با خاصیت کینازی میباشند که منجر به فعال شدن مسیرهای پیام رسانی درون سلولی می گردد. یکی از عوامل مهم مسیرهای سیگنال دهی، آنزیم گلیکوژن سنتازکیناز (GSK-3 β) است که یک سرین- ترئونین کیناز بوده و مهار فعالیت آن از طریق فسفریله شدن (۲۳) منجر به فعال شدن مسیرهای پیام رسانی درون سلولی از جمله مسیرهای Wnt و PI₃K-Akt می شود. مطالعات نشان می دهد در بیماریهای نورودژنراتیو مانند آلزایمر فعالیت GSK-3 β افزایش می یابد که منجر به هیپرفسفریله شدن پروتئینی بنام Tau شده و لذا کلافهای نوروفیبریلاری (NFT) از عوامل مرگ نوروئی در بیماری آلزایمر) تشکیل می شود (۱، ۴، ۶ و ۷). نتایج تحقیقات نشان می دهد که آنزیم GSK3 β در سلولهای آستروسیت به صورت فعال وجود داشته و لذا استفاده از مهارکننده های این آنزیم در سلولهای آستروسیت میتواند بر سنتز فاکتورهای محافظت کننده نوروئی مؤثر باشد. Sutherland و همکارانش (۲۷)

افزایش بیان فاکتورهای محافظت کننده نورونی نظیر $TGF\beta_1$ و $TGF\beta_2$ قلمداد کرد و لذا با مهار آن به بهبودی بخشهای آسیب دیده CNS و افزایش بقاء نورونی امیدوار بود.

Chin و همکارانش نیز در سال ۲۰۰۳ نشان دادند پروتئینهای Wnt با مهار آنزیم $GSK-3\beta$ باعث افزایش بیان IGF و مهار آپوپتوزیس می شوند (۱۱). در مجموع می توان مهار $GSK-3\beta$ در آستروسیتها را مسببی برای

منابع

- 1- Aghdam, S.Y. and S.W. Barger, Glycogen synthase kinase-3 in neurodegeneration and neuroprotection: lessons from lithium. *Curr Alzheimer Res*, 2007. 4(1): p. 21-31.
- 2- Alam, H.B., et al., Profound hypothermia protects neurons and astrocytes, and preserves cognitive functions in a Swine model of lethal hemorrhage. *J Surg Res*, 2005. 126(2): p. 172-81.
- 3 - Alvarez, A.R., et al., Wnt-3a overcomes beta-amyloid toxicity in rat hippocampal neurons. *Exp Cell Res*, 2004. 297(1): p. 186-96.
- 4 - Alvarez, G., et al., Regulation of tau phosphorylation and protection against beta-amyloid-induced neurodegeneration by lithium. Possible implications for Alzheimer's disease. *Bipolar Disord*, 2002. 4(3): p. 153-65.
- 5 - Aschner, M., U. Sonnewald, and K.H. Tan, Astrocyte modulation of neurotoxic injury. *Brain Pathol*, 2002. 12(4): p. 475-81.
- 6 - Asuni, A.A., et al., GSK3alpha exhibits beta-catenin and tau directed kinase activities that are modulated by Wnt. *Eur J Neurosci*, 2006. 18(12): p. 3387-92.
- 7 - Bhat, R.V. and S.L. Budd, GSK3beta signalling: casting a wide net in Alzheimer's disease. *Neurosignals*, 2002. 11(5): p. 251-61.
- 8 - Chen, L.W., K.L. Yung, and Y.S. Chan, Reactive astrocytes as potential manipulation targets in novel cell replacement therapy of Parkinson's disease. *Curr Drug Targets*, 2005. 6(7): p. 821-33.
- 9 - Chen, P.S., et al., Valproate protects dopaminergic neurons in midbrain neuron/glia cultures by stimulating the release of neurotrophic factors from astrocytes. *Mol Psychiatry*, 2006. 11(12): p. 1116-25.
- 10 - Chen, Y. and R.A. Swanson, Astrocytes and brain injury. *J Cereb Blood Flow Metab*, 2003. 23(2): p. 137-49.
- 11 - Chin, P.C., N. Majdzadeh, and S.R. D'Mello, Inhibition of GSK3beta is a common event in neuroprotection by different survival factors. *Brain Res Mol Brain Res*, 2005. 137(1-2): p. 193-201.
- 12 - Cooksey, C.J., Tyrian purple: 6,6'-dibromoindigo and related compounds. *Mol.*, 2001. 6: p. 736-769.
- 13 - Dhandapani, K.M., et al., Astrocyte protection of neurons: role of transforming growth factor-beta signaling via a c-Jun-AP-1 protective pathway. *J Biol Chem*, 2003. 278(44): p. 43329-39.
- 14 - Dienel, G.A. and L. Hertz, Astrocytic contributions to bioenergetics of cerebral ischemia. *Glia*, 2005. 50(4): p. 362-88.
- 15 - Diviya Sinha, Z.W., Kathleen L. Ruchalski, Jerrold S. Levine, Selvi Krishnan, Wilfred Lieberthal, John H. Schwartz, Borkan, Steven C. Borkan, Lithium activates the Wnt and phosphatidylinositol 3-kinase Akt signaling pathways to promote cell survival in the absence of soluble survival factors. *Am J Physiol Renal Physiol* 2005. 288: p. F703-F713.
- 16 - Doble, B.W., et al., Functional redundancy of GSK-3alpha and GSK-3beta in Wnt/beta-catenin signaling shown by using an allelic series of embryonic stem cell lines. *Dev Cell*, 2007. 12(6): p. 957-71.
- 17 - Koh, S.H., M.Y. Noh, and S.H. Kim, Amyloid-beta-induced neurotoxicity is reduced by inhibition of glycogen synthase kinase-3. *Brain Res*, 2008. 1188: p. 254-62.
- 18 - Liu, H.M., H.B. Yang, and R.M. Chen, Expression of basic fibroblast growth factor, nerve growth factor, platelet-derived growth

- factor and transforming growth factor-beta in human brain abscess. *Acta Neuropathol*, 1994. 88(2): p. 143-50.
- 19 - Liu, S.J., et al., Overactivation of glycogen synthase kinase-3 by inhibition of phosphoinositol-3 kinase and protein kinase C leads to hyperphosphorylation of tau and impairment of spatial memory. *J Neurochem*, 2003. 87(6): p. 1333-44.
- 20 - Meijer, L., et al., GSK-3-selective inhibitors derived from Tyrian purple indirubins. *Chem Biol*, 2003. 10(12): p. 1255-66.
- 21 - Meijer, L., et al., Inhibition of cyclin-dependent kinases, GSK-3beta and CK1 by hymenialdisine, a marine sponge constituent. *Chem Biol*, 2000. 7(1): p. 51-63.
- 22 - Meijer, L., M. Flajolet, and P. Greengard, Pharmacological inhibitors of glycogen synthase kinase 3. *Trends Pharmacol Sci*, 2004. 25(9): p. 471-80.
- 23 - Morrison, R.S., et al., Neuronal survival and cell death signaling pathways. *Adv Exp Med Biol*, 2002. 513: p. 41-86.
- 24 - Pfaffl, M.W., A new mathematical model for relative quantification in real-time RT-PCR. *Nucleic Acids Res*, 2001. 29(9): p. e45.
- 25 - Sato, N., et al., Maintenance of pluripotency in human and mouse embryonic stem cells through activation of Wnt signaling by a pharmacological GSK-3-specific inhibitor. *Nat Med*, 2004. 10(1): p. 55-63.
- 26 - Sinha, D., et al., Lithium activates the Wnt and phosphatidylinositol 3-kinase Akt signaling pathways to promote cell survival in the absence of soluble survival factors. *Am J Physiol Renal Physiol*, 2005. 288(4): p. F703-13.
- 27 - Sutherland, C., I.A. Leighton, and P. Cohen, Inactivation of glycogen synthase kinase-3 beta by phosphorylation: new kinase connections in insulin and growth-factor signalling. *Biochem J*, 1993. 296 (Pt 1): p. 15-9.
- 28 - Sutton, L.P., et al., Activation of the canonical Wnt pathway by the antipsychotics haloperidol and clozapine involves dishevelled-3. *J Neurochem*, 2007. 102(1): p. 153-69.
- 29 - Tang, W., and Eisenbrand, G., *Chinese Drugs of Plant Origin: Chemistry, Pharmacology, and Use in Traditional and Modern Medicine*. 1992: Heidelberg, Germany: Springer-Verlag.
- 30 - Watts, L.T., et al., Astrocytes protect neurons from ethanol-induced oxidative stress and apoptotic death. *J Neurosci Res*, 2005. 80(5): p. 655-666.

The effect of BIO, a specific GSK3-B inhibitor, on the expression of neuroprotective factor Tgfb β in cultured astrocytes

Parvaneh Tafreshi A.¹, Piroozi A.², Kashani F.², Darvishalipour S.¹ and Zeynali B.²

¹ The National Research Centre For Genetic Engineering and Biotechnology, Tehran, I.R. Of IRAN

² Developmental Biology Dept., Faculty of Sciences, Tehran, I.R. of IRAN

Abstract

Astrocytes are the most important glial cells of the central nervous system, ten times as much as neurons and with the ability of neuroprotection against injuries, ischemia, etc. Apoptosis of the astrocytes therefore leads to disease progression in neurodegenerative patients such as Alzheimer's and Parkinson's diseases. Investigations on possible signaling pathway (s) involved in neuron death suggest that GSK3- β "glycogen synthase kinase-3 β ", a key molecule of the Wnt and PI-3 kinase signaling pathways, is considerably increased in neurodegenerative diseases. In this study we sought to determine if the expression of neuroprotective factors such as TGF β ₁ and TGF β ₂ in cultured astrocytes is altered by inhibition of GSK3- β . Different concentrations of BIO, a specific inhibitor of GSK3- β (0.1 μ M, 0.5 μ M and 1 μ M) were therefore used. The treated and control astrocytes were isolated after 48 hours and monitored for the expression of TGF β ₁^{mRNA} and TGF β ₂^{mRNA} using real-time RT-PCR. Our results show that the BIO treated cells express much higher amounts of TGF β ₁ and TGF β ₂ in comparison with the control cells. The increased expression of TGF β s following the inhibition of GSK3- β points at the involvement of GSK3- β in neuroprotective activity of astrocytes.

Keywords: GSK3 β , BIO, astrocyte, TGF β